

# Нейросетевое декодирование на основе графа Таннера

Газизуллин Реналь Кварацхелия Георгий Шаглаев Илья

Университет Иннополис

15 декабря 2025 г.

# Содержание

1 Введение

2 Neural Belief Propagation

3 Результаты

# Тема проекта

Проект 3. Применение нейронных сетей для декодирования линейных кодов. Подход на основе графа Таннера

## Задачи:

- Реализовать алгоритм из представленной статьи
- Проверить его работу на МПП-кодах из стандарта 5G
- Сравнить производительность с алгоритмом Sum-Product

# Мотивация

В современном мире важна скорость и простота, при этом и терять в качестве нельзя.

Имеющийся алгоритм Back Propagation (BP) хорошо работает с LDPC кодами, но для этого требует большие длины блоков. Для коротких и умеренных HDPC кодов обычный BP даёт плохие результаты, по сравнению с оптимальным Maximum Likelihood (ML).

Для решения проблемы с высокой вычислительной сложностью и проблемами в коротких кодах у BP, предлагается использовать нейронные сети и обучение.

# Граф Таннера

## Определение

**Граф Таннера** — это двудольный граф, который описывает структуру линейного блочного кода через его проверочную матрицу  $H$ .

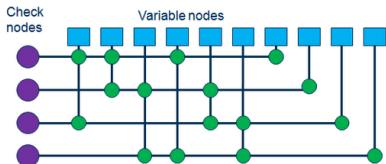
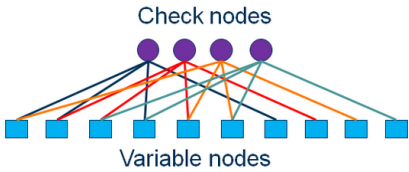
**Граф Таннера**  $G = (V \cup C, E)$  состоит из:

- **Узлов переменных:**  $V = \{v_1, \dots, v_n\}$ , каждому узлу соответствует кодовый бит  $x_j$ .
- **Узлов проверок:**  $C = \{c_1, \dots, c_m\}$ , каждому узлу соответствует проверочное уравнение:

$$\sum_{j=1}^n H_{ij}x_j = 0 \pmod{2}$$

- **Рёбер:** между  $v_i$  и  $c_j$  существует ребро тогда и только тогда, когда  $H_{ij} = 1$ .

$$\mathbf{H}_{McV} = \begin{pmatrix} 1 & 1 & 0 & 1 & 0 & 0 & 0 & 1 & 0 & 0 & 0 \\ 0 & 1 & 1 & 0 & 1 & 0 & 0 & 1 & 0 & 0 & 0 \\ 1 & 0 & 0 & 0 & 1 & 1 & 0 & 0 & 1 & 0 & 0 \\ 0 & 0 & 1 & 1 & 0 & 1 & 0 & 0 & 0 & 0 & 1 \end{pmatrix}$$



Визуализация примера графа Таннера.

# Belief Propagation: Trellis-представление

- Рассматривается линейный код с проверочной матрицей  $H$  и соответствующим **графом Таннера**.
- Алгоритм belief propagation (BP) является **итеративным алгоритмом обмена сообщениями** между переменными (variable nodes) и проверками чётности (check nodes).
- BP можно представить как **trellis**, полученный разворачиванием алгоритма по итерациям  $t = 1, \dots, T$ .
- На каждой итерации выполняются два шага:
  - сообщения  $m_{v \rightarrow c}^{(t)}$  от переменных к проверкам,
  - сообщения  $m_{c \rightarrow v}^{(t)}$  от проверок к переменным.
- Обновление сообщений:

$$m_{v \rightarrow c}^{(t)} = \ell_v + \sum_{c' \in \mathcal{N}(v) \setminus c} m_{c' \rightarrow v}^{(t-1)}$$

$$m_{c \rightarrow v}^{(t)} = 2 \tanh^{-1} \prod_{v' \in \mathcal{N}(c) \setminus v} \tanh \left( \frac{m_{v' \rightarrow c}^{(t)}}{2} \right)$$

- После  $T$  итераций вычисляется апостериорный LLR:

$$L_v = \ell_v + \sum_{c \in \mathcal{N}(v)} m_{c \rightarrow v}^{(T)}$$

# Ограничения классического Belief Propagation

- Алгоритм belief propagation является **оптимальным только на деревьях**.
- Реальные линейные коды (например, LDPC) имеют **короткие циклы в графе Таннера**.
- Наличие циклов приводит к:
  - корреляции сообщений,
  - повторному распространению одной и той же информации.
- В trellis-представлении это проявляется как **самовлияние сообщений** между итерациями.
- Правила обновления BP:
  - фиксированы,
  - одинаковы для всех рёбер и итераций,
  - не адаптируются к структуре кода.
- Следствие: **заметный разрыв с ML-декодированием** для кодов малой и средней длины.

# Идея Neural Belief Propagation

- Belief propagation представлен как **trellis вычислительного графа** из  $T$  итераций.
- Классический BP использует **фиксированные правила обновления сообщений**.
- Основная идея: **ввести обучаемые веса** на рёбрах trellis, сохранив структуру BP.
- Обновление сообщений с весами:

$$m_{v \rightarrow c}^{(t)} = w_{vc}^{(t)} \ell_v + \sum_{c' \in \mathcal{N}(v) \setminus c} w_{c'v}^{(t)} m_{c' \rightarrow v}^{(t-1)}$$

- Веса позволяют:
  - компенсировать эффекты коротких циклов,
  - адаптировать алгоритм к конкретному коду,
  - приблизиться к ML-декодированию.
- Получается **нейронный декодер**, структурно эквивалентный BP.

# Два варианта весов в Neural Belief Propagation

- В trellis-представлении Neural BP возможны два способа задания весов.
- **Unrolled Neural BP:**
  - разные веса на каждой итерации  $t$ ,
  - архитектура глубокой нейросети,
  - высокая гибкость, но много параметров.
- **RNN Neural BP (shared weights):**
  - одинаковые веса для всех итераций,
  - рекуррентная архитектура,
  - меньше параметров и лучшее обобщение.
- Экспериментально показано, что RNN-вариант достигает сравнимой производительности при существенно меньшей сложности.

# Обучение Neural Belief Propagation

- Вход сети:
  - логарифмические отношения правдоподобия (LLR)

$$\ell_v = \log \frac{P(y_v|x_v = +1)}{P(y_v|x_v = -1)}$$

- канал AWGN.
- Выход сети:  
LLR  $L_v$  после  $T$  итераций BP.
- Используется Cross-Entropy Loss.
- Обучение выполняется методом градиентного спуска.
- После обучения веса фиксируются и используются для декодирования.

# Нулевое кодовое слово

- Рассматриваются **линейные блочные коды**.
- Для линейного кода:
  - нулевое слово 0 всегда является кодовым,
  - все кодовые слова эквивалентны с точки зрения ошибок.
- Используется симметричный канал:
  - BPSK-модуляция,
  - аддитивный белый гауссов шум (AWGN).
- Симметрия канала означает:

$$P(y|x) = P(-y|-x)$$

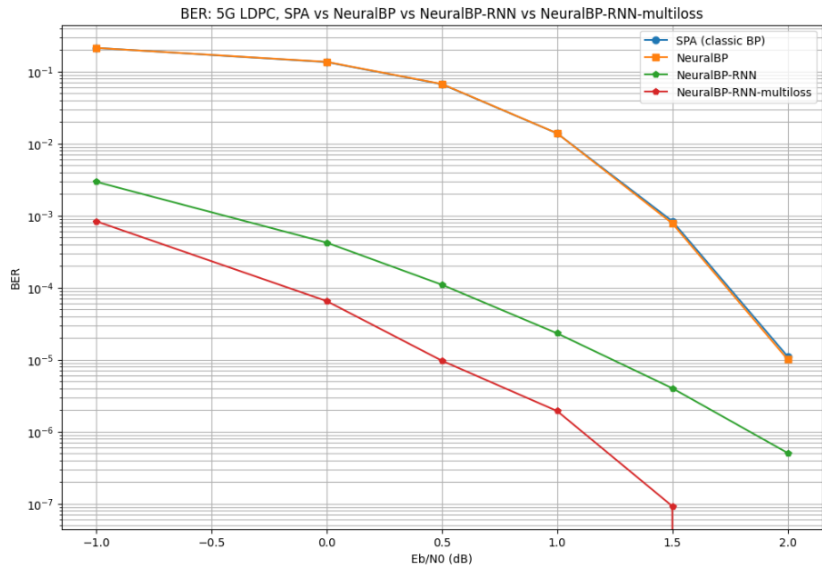
- Следствие:
  - статистика ошибок не зависит от переданного кодового слова,
  - обучение на 0 эквивалентно обучению на всём коде.
- Это позволяет существенно:
  - упростить обучение,
  - сократить объём требуемых данных

# Эксперимент

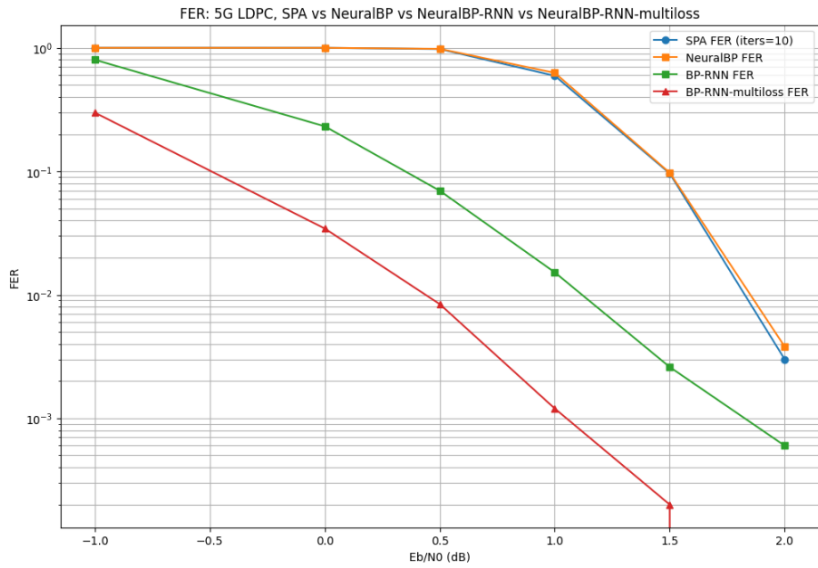
- Взяли протоматрицу из [репозитория](#).
- Преобразовали её в матрицу  $H \in \{0, 1\}^{1472 \times 2176}$ .
- Обучили Neural BP, Neural BP с RNN.
- Посчитали на каждом из алгоритмов ошибки: BER(bit error rate) и FER(frame error rate).
- Построили графики

Исходный код нашего проекта можно найти в репозитории [github](#).

# Результаты



# Результаты



# Спасибо за внимание!